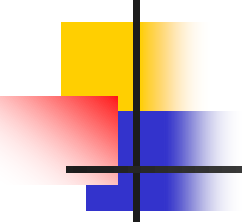




# 動的モード分解(DMD)のお勉強

---

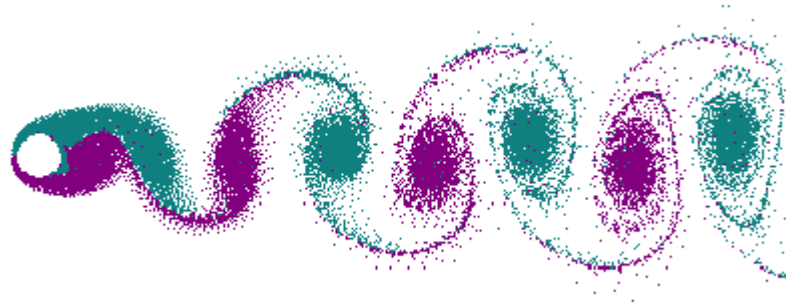
- 
- 
- 概要
  - 理論
  - 話題

# 概要

Gif. from Wikipedia

## ◎ 動機

実験or数値計算で得られた高次元時系列データを分析したい.



# 概要

## ◎ 固有直交分解 (昔からあるモード解析法, 主成分分析とも)

### ○ アイデア

観測ベクトルの時系列:  $\mathbf{y}_0, \mathbf{y}_1, \dots, \mathbf{y}_m$

各  $\mathbf{y}_t$  を少数の基底  $\boldsymbol{\varphi}_1, \dots, \boldsymbol{\varphi}_r$  で低次元近似表現したい.

→  $\mathbf{y}_t \approx \sum_{i=1}^r \boldsymbol{\varphi}_i \boldsymbol{\varphi}_i^T \mathbf{y}_t$  (ここで,  $\boldsymbol{\varphi}_i^T \mathbf{y}_t$  は射影成分を意味する)

最小二乗法:  $\min_{\{\boldsymbol{\varphi}_i\}} \sum_{t=0}^m \|\mathbf{y}_t - \sum_{i=1}^r \boldsymbol{\varphi}_i \boldsymbol{\varphi}_i^T \mathbf{y}_t\|^2$ , s.t. 各  $\boldsymbol{\varphi}_i$  が直交.

→ (式変形)

→ 固有値分解  $[\sum_{t=0}^m \mathbf{y}_t \mathbf{y}_t^T] \boldsymbol{\varphi}_i = \mathbf{R} \boldsymbol{\varphi}_i = \rho_i \boldsymbol{\varphi}_i$

### ○ 注意

最適化において,  $t$  番目と  $t+1$  番目のデータの関係を直接評価していない.

# 概要

## ◎ 動的モード分解 (今日のメインテーマ)

### ○ アイデア

観測ベクトルの時系列:  $\mathbf{y}_0, \mathbf{y}_1, \dots, \mathbf{y}_m$

データの行列:  $\mathbf{Y}_0 = [\mathbf{y}_0, \dots, \mathbf{y}_{m-1}], \mathbf{Y}_1 = [\mathbf{y}_1, \dots, \mathbf{y}_m]$

最小二乗法:  $\min_A \|\mathbf{Y}_1 - \mathbf{A}\mathbf{Y}_0\|^2 \rightarrow \mathbf{A} = \mathbf{Y}_1\mathbf{Y}_0^\dagger$

固有値分解:  $\mathbf{A}\boldsymbol{\omega}_i = \lambda_i \boldsymbol{\omega}_i$

モード分解:  $\mathbf{y}_t \approx \mathbf{A}\mathbf{y}_{t-1} = \mathbf{A}^t \mathbf{y}_0 = \sum_i \lambda_i^t \boldsymbol{\omega}_i$

( $\lambda$ : モード振動数・減衰率,  $\boldsymbol{\omega}$ : 動的モード)

### ○ 特徴

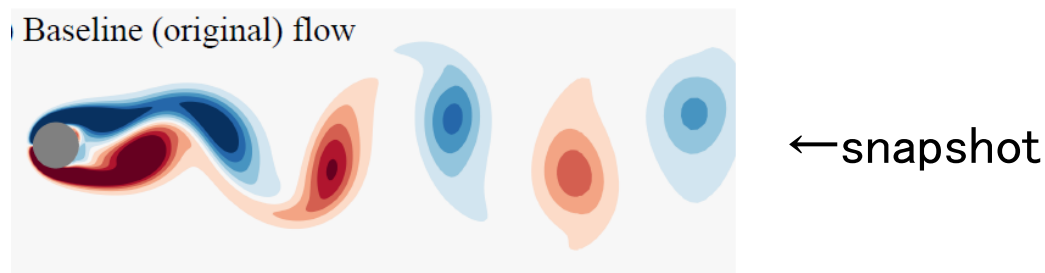
最適化において,  $t$  番目と  $t+1$  番目のデータの関係を直接評価している.

→ モード分解の手続きの中で, 時間的な情報をより使っている.

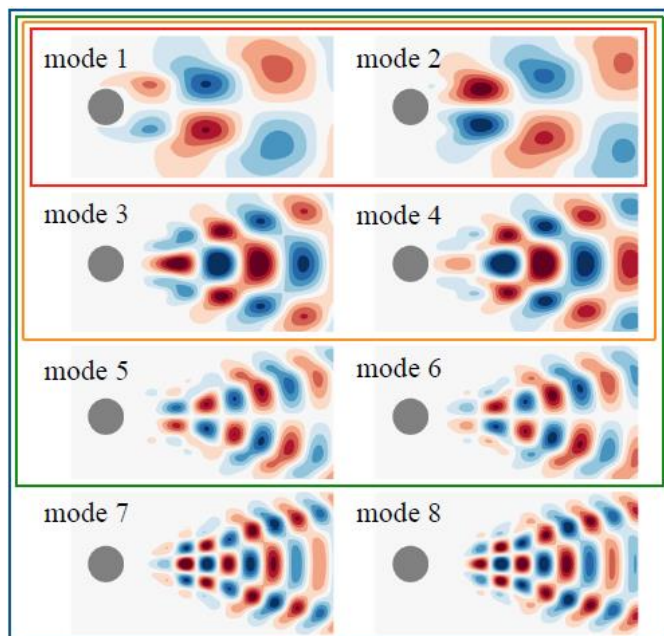
# 概要

Figs. from Taira et al (2019)

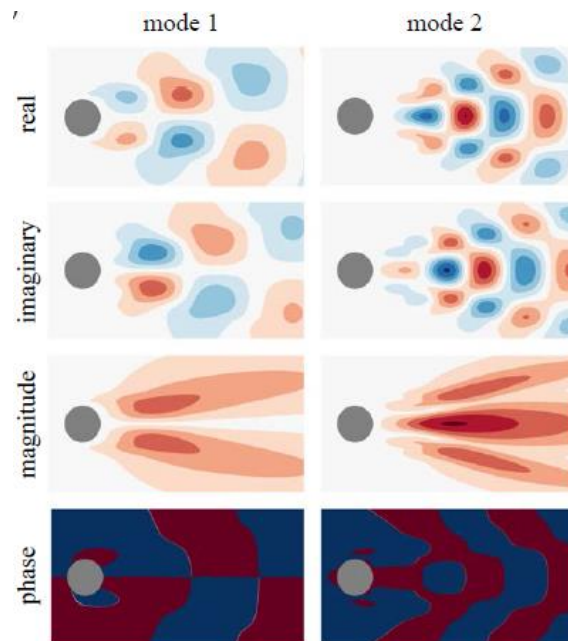
## ◎ 比較： 周期的円筒流れ

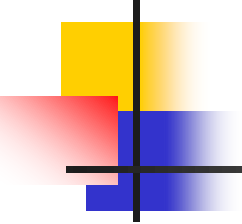


### 固有直交分解



### 動的モード分解



- 
- 
- 概要
  - 理論
  - 話題

# 理論

## ◎ 線形代数の復習

### ○ スカラ体上のベクトル空間

- ・ ベクトル加法性

単位元:  $u + 0 = u$ , 逆元:  $u + (-u) = 0$

結合:  $u + (v + w) = (u + v) + w$ , 可換:  $u + v = v + u$

- ・ スカラ乗法性

分配:  $a(u + v) = au + av$ ,  $(a + b)u = au + bu$

両立:  $(ab)u = a(bu)$ , 単位元:  $1u = u$

### ○ 線形写像・線形作用素

$$T(au + bv) = aTu + bTv$$



# 理論

## ◎ クープマン作用素（離散時間の場合をやります）

### ○ 定義

非線形状態方程式:  $x_{t+1} = f(x_t)$ , 1次元観測方程式:  $y_t = g(x_t)$

クープマン作用素  $K$  は,  $g$  に対して次のように作用する作用素である.

$$Kg(x_t) = (g \circ f)(x_t) = g(f(x_t)) = g(x_{t+1})$$

### ○ 線形観測の場合

線形観測  $g, g'$  に対して次が成り立つため(具体的には最初の等式),  
 $K$  は線形作用素である(ただし無限次元).

$$\begin{aligned} K(ag(x) + bg'(x)) &= K((ag + bg')(x)) = (ag + bg')(f(x)) \\ &= ag(f(x)) + bg'(f(x)) = aKg(x) + bKg'(x) \end{aligned}$$

# 理論

## ◎ クープマン固有関数

作用素の線形性から, (適当な条件下で) 固有値・固有関数が定義される.

$$\varphi(\mathbf{x}_{t+1}) = K\varphi(\mathbf{x}_t) = \lambda\varphi(\mathbf{x}_t)$$

このとき, 次のように書ける.

$$g(\mathbf{x}_0) = \sum_{i=1}^{\infty} b_i \varphi_i(\mathbf{x}_0)$$
$$g(\mathbf{x}_t) = K^t g(\mathbf{x}_0) = \sum_{i=1}^{\infty} b_i K^t \varphi_i(\mathbf{x}_0) = \sum_{i=1}^{\infty} b_i \lambda_i^t \varphi_i(\mathbf{x}_0)$$

# 理論

## ◎ クーブマン固有関数(多次元)

観測関数 $g_1, g_2, \dots$ は, (無限次元)ベクトル空間の要素である.  
(有限次元での $Au = \lambda u$ でいうところの,  $u$  の空間に相当する)

- 観測関数 $g_1, g_2, \dots$ は, 同じ固有関数 $\varphi_i$ を用いて展開表現できる.  
(有限次元での $v_1, v_2$  は, 同じ固有ベクトル $u_i$ を用いて展開表現できる)
- 前ページと同様に, 次のように書ける.

$$g(x_0) = \sum_{i=1}^{\infty} b_i \varphi_i(x_0)$$
$$g(x_t) = K^t g(x_0) = \sum_{i=1}^{\infty} b_i K^t \varphi_i(x_0) = \sum_{i=1}^{\infty} b_i \lambda_i^t \varphi_i(x_0)$$

# 理論

## ◎ クープマン固有関数展開の有限次元近似

有限次元近似:  $\mathbf{y}_t = \mathbf{g}(\mathbf{x}_t) \approx \sum_{i=1}^m \mathbf{b}_i \lambda_i^t \varphi_i(\mathbf{x}_0) = \sum_{i=1}^m \lambda_i^t \boldsymbol{\omega}_i$  とすると,

$$\begin{aligned} \mathbf{Y}_0 &= [\mathbf{y}_0 \quad \cdots \quad \mathbf{y}_{m-1}] = [\boldsymbol{\omega}_1 \quad \cdots \quad \boldsymbol{\omega}_m] \begin{bmatrix} 1 & \cdots & \lambda_1^{m-1} \\ \vdots & \ddots & \vdots \\ 1 & \cdots & \lambda_m^{m-1} \end{bmatrix} \\ \mathbf{Y}_1 &= [\mathbf{y}_1 \quad \cdots \quad \mathbf{y}_m] = [\boldsymbol{\omega}_1 \quad \cdots \quad \boldsymbol{\omega}_m] \begin{bmatrix} \lambda_1 & \cdots & 0 \\ \vdots & \ddots & \vdots \\ 0 & \cdots & \lambda_m \end{bmatrix} \begin{bmatrix} 1 & \cdots & \lambda_1^{m-1} \\ \vdots & \ddots & \vdots \\ 1 & \cdots & \lambda_m^{m-1} \end{bmatrix} \\ \mathbf{A} &= \mathbf{Y}_1 \mathbf{Y}_0^\dagger \approx [\boldsymbol{\omega}_1 \quad \cdots \quad \boldsymbol{\omega}_m] \begin{bmatrix} \lambda_1 & \cdots & 0 \\ \vdots & \ddots & \vdots \\ 0 & \cdots & \lambda_m \end{bmatrix} [\boldsymbol{\omega}_1 \quad \cdots \quad \boldsymbol{\omega}_m]^\dagger \\ \mathbf{A}[\boldsymbol{\omega}_1 \quad \cdots \quad \boldsymbol{\omega}_m] &\approx [\boldsymbol{\omega}_1 \quad \cdots \quad \boldsymbol{\omega}_m] \begin{bmatrix} \lambda_1 & \cdots & 0 \\ \vdots & \ddots & \vdots \\ 0 & \cdots & \lambda_m \end{bmatrix} = [\lambda_1 \boldsymbol{\omega}_1 \quad \cdots \quad \lambda_m \boldsymbol{\omega}_m] \end{aligned}$$

となり,  $\mathbf{A}\boldsymbol{\omega}_i = \lambda_i \boldsymbol{\omega}_i$  の固有値問題と, クープマン固有値・固有関数が対応付く.

# 理論

## ◎ 動的モード分解(DMD): 再掲

### ○ アイデア

状態ベクトルの時系列:  $\mathbf{y}_0, \mathbf{y}_1, \dots, \mathbf{y}_m$

データの行列:  $\mathbf{Y}_0 = [\mathbf{y}_0, \dots, \mathbf{y}_{m-1}], \mathbf{Y}_1 = [\mathbf{y}_1, \dots, \mathbf{y}_m]$

最小二乗法でAを求める:  $\min_A \|\mathbf{Y}_1 - \mathbf{A}\mathbf{Y}_0\|^2 \rightarrow \mathbf{A} = \mathbf{Y}_1\mathbf{Y}_0^\dagger$

固有値分解:  $\mathbf{A}\boldsymbol{\omega}_i = \lambda_i \boldsymbol{\omega}_i$

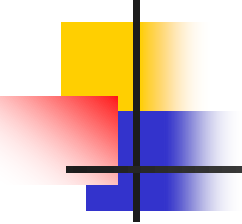
モード分解:  $\mathbf{y}_t \approx \mathbf{A}\mathbf{y}_{t-1} = \mathbf{A}^t \mathbf{y}_0 = \sum_i \lambda_i^t \boldsymbol{\omega}_i$

( $\lambda$ : モード振動数・減衰率,  $\boldsymbol{\omega}$ : 動的モード)

### ○ 特徴

モード分解の手続きの中で, 時間的な情報も使っている.

(最適化において,  $t$  番目と  $t+1$  番目のデータの関係を評価した項がある)

- 
- 
- 概要
  - 理論
  - 話題

# 話題

Figs. from Violato et al (2009) and Schmid et al (2012)

## ◎ 適用例

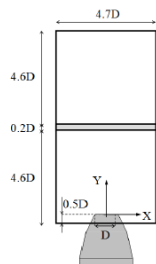
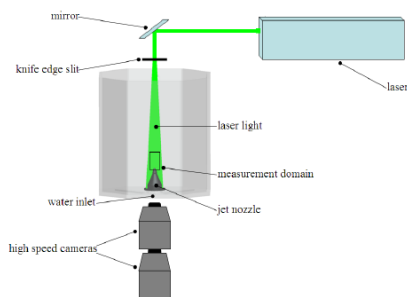
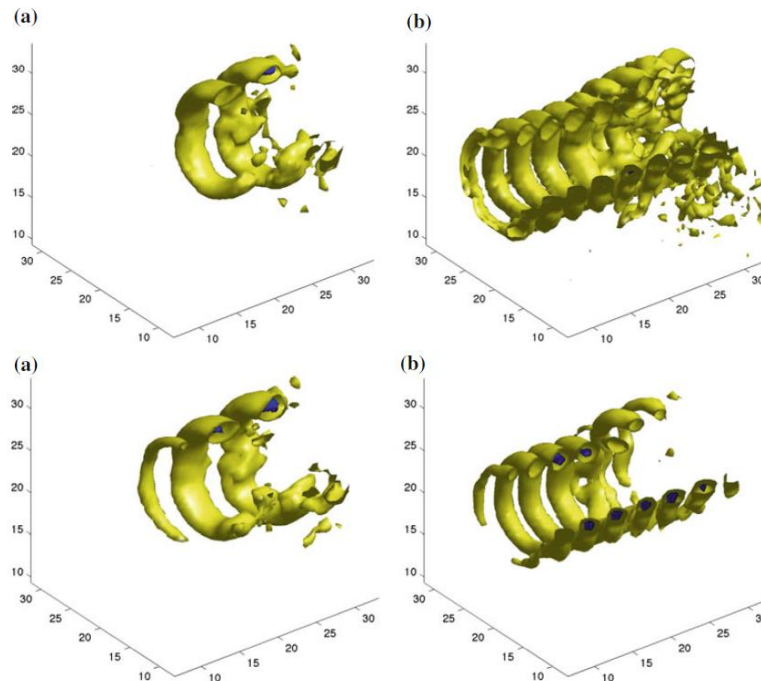


Fig. 4 Decomposition of a three-dimensional low-Mach number jet at  $Re = 5,000$ . Iso-surfaces of the  $\lambda_2$ -criterion of the two most dominant dynamic modes (besides the mean flow): a  $DM_1$  with  $St = 0.325$ , and b  $DM_2$  with  $St = 0.646$ . A quarter of the circumferential dependence has been eliminated for an improved visualization

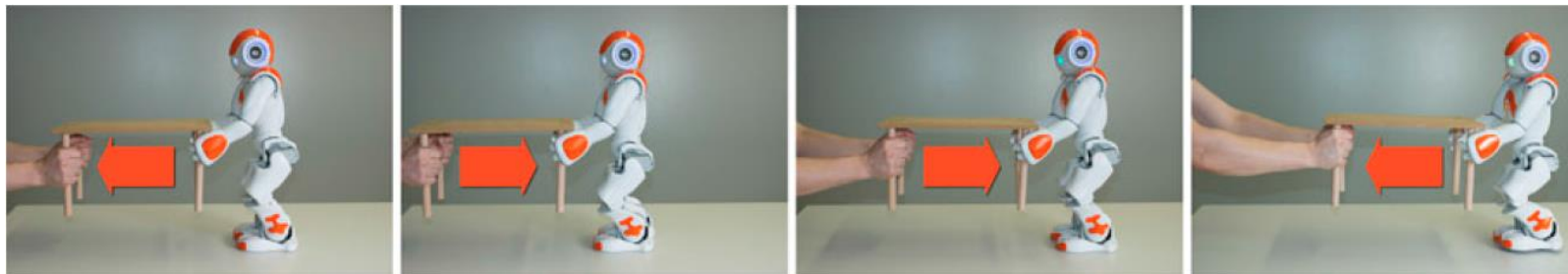
Fig. 7 Decomposition of a three-dimensional low-Mach number jet at  $Re = 5,000$  using a proper orthogonal decomposition. Iso-surfaces of the  $\lambda_2$ -criterion of the two most dominant POD modes. A quarter of the circumferential dependence has been eliminated for an improved visualization. a  $POD_1$ , b  $POD_2$



Schmid et al, Decomposition of time-resolved tomographic PIV, *Experiments in Fluids*, 2012.

- PIV実験データでPODとDMDを比較らしい・・・(わたし流体分かんない)
- “transitional water jet at a Reynolds number of  $Re = 5,000$ .” らしい。
- モードや固有値を見て何かを考察している・・・(わたし流体分かんない)

## ◎ 適用例： ロボット



Berger et al, Estimation of perturbations in robotic behavior using dynamic mode decomposition, *Advanced Robotics*, 2014.

- Behavior-specificなタスクを扱う.
- 力センサノイズ, 接触力, 人間由来の外部摂動, を切り分けたい.
- 事前訓練では, 正規の場合の挙動をDMDを使ってモード分解しておく.  
適用時に, モードに基づいて人間由来外部摂動を推定し, 挙動を切替る.
- DMDを要素として組み込んだが, 不満があったから部分的に改造した.



# 話題

## ◎ 課題として認識されているらしいこと？

### ○ 時空間の変数分離ができない系

(未解決課題として言及されるに留まっているっぽい？)

### ○ そのままだと実験データのノイズに弱い.

→ noise-robustになるようにDMDを拡張.

### ○ 非線形観測データ

→ 逐次線形化による拡張(要, 理論的妥当性)

### ○ 連続スペクトルの取り扱い

→ 時間遅れ座標の導入, 振幅-周波数をゆるく相関させてモード解析

### ○ 機械学習手法を用いたクーブマン固有関数の推定

→ スパース回帰, 深層学習.

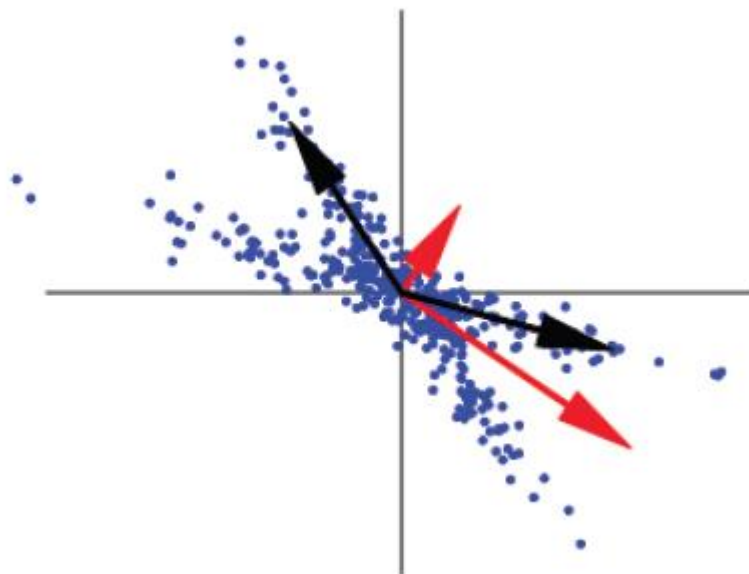
# 眺めた資料

- [1] <https://ja.wikipedia.org/wiki/カルマン渦>
- [2] Brunton and Kutz, *Data-driven science and engineering*, 2019.
- [3] Taira et al, Modal analysis of fluid flow: application and outlook, *AIAA Journal*, 2019.
- [4] 平, 固有直交分解による流体解析: 2. 応用, *ながれ*, 2011.
- [5] Rowley et al, Spectral analysis of nonlinear flow, *Journal of Fluid Mechanics*, 2009.
- [6] Schmid et al, Decomposition of time-resolved tomographic PIV, *Experiments in Fluids*, 2012.
- [7] Violato et al, Application of Powell's analogy for the prediction of vortex-pairing sound in a low-Mach number jet based on time-resolved planar and tomographic PIV, *Proceedings of AIAA/CAES conference on aeroacoustics*, 2009.
- [8] Berger et al, Estimation of perturbations in robotic behavior using dynamic mode decomposition, *Advanced Robotics*, 2014.
- [9] 武石 et al, ベイズ的動的モード分解, *人工知能学会全国大会*, 2017. (英語版 *Proceedings of IJICAI*, 2017)

(赤・・・本筋の資料, 黒・・・その他資料)



## ◎ 独立成分分析（統計）



赤矢印が主成分分析によるモード，黒矢印が独立成分分析によるモード．

- …… 主成分分析とは異なり，データが正規分布していない場合でも有効
- × …… 大規模データは，今のところ上手く扱えない．

# おまけ

## ◎ スペクトル分解（関数解析）

線形作用素  $T$  のスペクトルは、作用素  $T - \lambda$  が有界な逆作用素を持たないような全てのスカラー  $\lambda$  で構成される（これは定義）。

スペクトルは、数学的には3つの部分に分解される。

- ・ 点スペクトル → 有限次元線形システムで言うところの固有値.
- ・ 連続スペクトル → カオスとかで出てくる.
- ・ 剰余スペクトル → （私は物理的な例を知らないです・・・）

# おまけ

## ◎ 観測データを用いたアトラクターの再構成（非線形力学）

### ○ 復習（ストロガッツの教科書12.4節）

レスラー方程式の観測データの2次元の時間遅れ座標をプロットすると、レスラーアトラクターに似たストレンジアトラクター（＝カオス）が見える。

### ○ 続き

「時間遅れ埋め込みプレバレント定理 (Sauer et al, 1991)」

（私の雑な理解）カオスのボックス計数次元の2倍よりも大きな個数の時間遅れ座標を用意すれば、元々のカオスとデータで再構築したカオスが1-1対応になる。

→ 理屈的には、時間遅れ座標でカオスを捉えられる。

→ 実際的には、カオスとノイズの分離が必要（→カオス時系列解析）。

# おまけ

## ◎ 波動方程式（振動・波動論）

1次元波動方程式

$$\frac{1}{c^2} \frac{\partial^2 u}{\partial t^2} = \frac{\partial^2 u}{\partial x^2}$$

上式を満たす解（進行波解と言うらしい）は、適当な関数  $f, g$  として、

$$u(x, t) = f(x + ct) + g(x - ct)$$

→ 一般に、時空間が変数分離できない、つまり、 $u(x, t) \neq a(x)b(t)$